

九州大学工学部 正員 井島武士
 ノ 佐々木富雄
 ノ 湯村やす
 ノ 周崇仁

1. はしがき

海岸に入射する波を消波するには、一般に斜面を構成するのが最も有効で特に周期の長い波に対しては斜面によるのが唯一と考えられていた。海港内等における周期の小さい波に対しては透過性の直立護岸が考えられますが、周期の長い波に対しては余程堅硬な直立護岸でなければならず、これは実用上不可能なことというものが一般認識であった。

長尾教授⁽¹⁾は種々の型式の透過性堤体の背後に遊水部を設けた直立型式の護岸について研究し、反射率0.2~0.3を得ることが出来るこことを認めたが、理論的に不充分で、条件を明確するまでに至っていない。

そこで本文では、直立透過堤体に対して、三つの力学的モデルを想定して微小振幅波とその厳密解を求め実験的にこれを確認し、遊水部が反射率低下に及ぼす効果とその条件を明確にし、波長の長い波に対して直立型式の消波護岸が実際に使用することが可能であることを示した。

2. 理論

図1.2.3に示すように、水深 h の海域に幅 $2l$ の透過性堤体があり、中間に p_1 ($p \geq 1$)の位置に不透過な壁体があって幅 $(p-1)l$ の遊水部があるものとする。図-1は一様な透過性物質からなる透過堤体の場合、図-2は水平な不透過版とその中の透過性物体からなる堤体の場合で水面が水平版と一致している場合、図-3は水面が水平版と水平版の間にある場合である。前者を一様透過性護岸、後者を合成護岸(I),(II)とする。

流体域を図に示すようにI, II, ... とし、入射波のfrequencyを $\omega (= 2\pi/T$; Tは周期)、振幅を α とすると、各々の場合の各流体域に対する流体運動の速度ポテンシャル中は次のように表わされる。(添字は流体域を示す)

(i) 一様透過性護岸

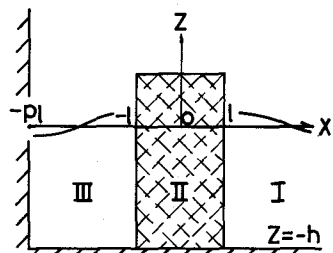


Fig.1 Sea Wall with Uniform Absorber

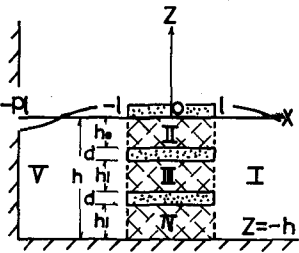


Fig.2 Sea Wall with Composite Absorber (I)

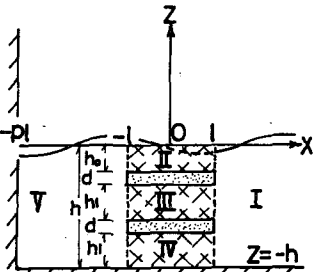


Fig.3 Sea Wall with Composite Absorber (II)

$$\Phi_1(x, z) = (A e^{i k z - \alpha} + B e^{-i k z - \alpha}) \cdot \frac{\cosh \bar{R}_n(z+h)}{\cosh \bar{R}_n h} + \sum_{n=1}^{\infty} C_n e^{-\bar{k}_n(z-h)} \frac{\cos \bar{k}_n(z+h)}{\cosh \bar{k}_n h} \quad (1)$$

$$\Phi_2(x, z) = \sum_{n=0}^{\infty} \left(D_r \frac{\cosh \bar{R}_n x}{\cosh \bar{R}_n l} + E_r \frac{\sinh \bar{R}_n x}{\sinh \bar{R}_n h} \right) \cdot \frac{\cosh \bar{R}_n(z+h)}{\cosh \bar{R}_n h} \quad (2)$$

$$\Phi_3(x, z) = F_r \cdot \frac{\cos \bar{k}_n(z+pl)}{\cosh \bar{k}_n l} \cdot \frac{\cosh \bar{k}_n(z+h)}{\cosh \bar{k}_n h} + \sum_{n=1}^{\infty} C_n \cdot \frac{\cosh \bar{k}_n(z+pl)}{\cosh \bar{k}_n l} \cdot \frac{\cos \bar{k}_n(z+h)}{\cosh \bar{k}_n h} \quad (3)$$

ここで \bar{k}_n 及び \bar{R}_n は次式で求まる固有値で、 $A, B, C_n, D_r, E_r, F_r, G_n$ は複数係数である。

$$\bar{k}_n \tanh \bar{R}_n h = - \bar{R}_n h \tan \bar{k}_n h = \bar{k}_n^2 / g, \quad (n=1, 2, 3, \dots) \quad (4)$$

$$\bar{k}_n h \tanh \bar{R}_n h = (1 - i \cdot \frac{\nabla \mu}{g}) \cdot \bar{k}_n^2 / g, \quad (r=0, 1, 2, \dots) \quad (5)$$

g は重力の加速度、 ∇ は透過性物体の空隙率、 μ は流体運動に対する流速に比例する抵抗である。この理論計算ではすべて $\mu/g = 2.0$, $\nabla = 0.5$ とする。

(ii) 合成堤護岸(I)

$\Phi_1(x, z)$ 及び $\Phi_5(x, z)$ は式(1)及び(3)と同じ形で $\Phi_2(x, z), \Phi_3(x, z), \Phi_4(x, z)$ は次式となる。

$$\Phi_2(x, z) = \sum_{n=0}^{\infty} \left(D_r^{(1)} \frac{\cosh \bar{R}_n x}{\cosh \bar{R}_n l} + E_r^{(1)} \frac{\sinh \bar{R}_n x}{\sinh \bar{R}_n h} \right) \cdot \cos R(z+h_1), \quad (0 > z > -h_1) \quad (6)$$

$$\Phi_3(x, z) = \sum_{n=0}^{\infty} \left(D_r^{(2)} \frac{\cosh \bar{R}_n x}{\cosh \bar{R}_n l} + E_r^{(2)} \frac{\sinh \bar{R}_n x}{\sinh \bar{R}_n h} \right) \cdot \cos R(z+zh_1+d), \quad (-h_1+d) > z > -(zh_1+d) \quad (7)$$

$$\Phi_4(x, z) = \sum_{n=0}^{\infty} \left(D_r^{(3)} \frac{\cosh \bar{R}_n x}{\cosh \bar{R}_n l} + E_r^{(3)} \frac{\sinh \bar{R}_n x}{\sinh \bar{R}_n h} \right) \cdot \cos R(z+h), \quad (-2(h_1+d)) > z > -h \quad (8)$$

ここで $R = \bar{k}_n/h_1$ (r は正整数), h_1 及び d は図-2 に示す水平版の両端と厚さで D_r, E_r は複数係数である。

(iii) 合成堤護岸(II)

Φ_1 及び Φ_5 は式(1), (3)と同じで、 Φ_3, Φ_4 は夫々式(7)及び(8)と同じである。 $\Phi_2(x, z)$ は次式で与えられる。

$$\Phi_2(x, z) = \sum_{n=0}^{\infty} \left(D_r^{(1)} \frac{\cos \bar{R}'_n x}{\cos \bar{R}'_n l} + E_r^{(1)} \frac{\sin \bar{R}'_n x}{\sin \bar{R}'_n h_0} \right) \cdot \frac{\cosh \bar{R}'_n(z+h_0)}{\cosh \bar{R}'_n h_0} \quad (9)$$

ここで \bar{R}'_n は次式で求まる値である。

$$\bar{R}'_n h_0 \tanh \bar{R}'_n h_0 = (1 - i \cdot \frac{\nabla \mu}{g}) \cdot \bar{k}_n^2 / g \quad (10)$$

ここで h_0 は図-3 に示すように、最上部水平版の深さである。

各々の場合において与えられた速度ポテンシャルで表わされる運動は、その仮想境界面 $x = \pm l$ で力学的に連続でなければならないが、それは水平流速と圧力の連続性によって保証される。その条件を適用して、各々の速度ポテンシャルの式における複数係数に亘る連立一次方程式が得られ、これを解いて速度ポテンシャル ϕ 及び入射波に対する定数 A (従って入射波の振幅 a) に対して確定する。

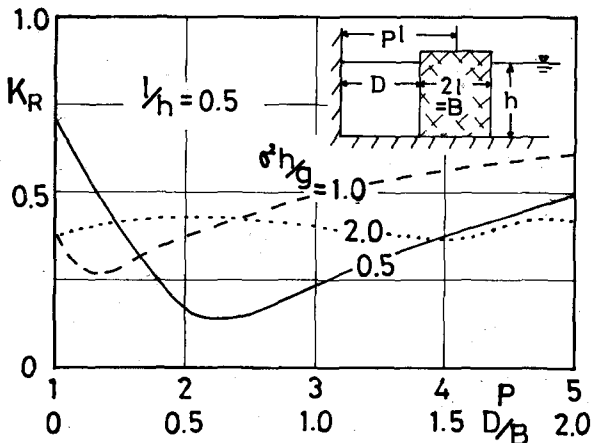


Fig. 4 Reflection Coefficient for Uniform Type Wall

するとこの護岸の反射率 K_R やび堤体前面の水面変動量 $\zeta(l)$ は次式で与えられる。

$$K_R = |B/A|, \quad (11)$$

$$\zeta(l)/a = \left| 1 + \frac{B}{A} + \sum_{n=1}^{\infty} \frac{C_n}{A} \right|$$

堤体に作用する圧力も同様に計算される。

3. 計算結果

上述の理論式において $H/a = 2.0$, $V = 0.5$ として、堤幅比 $B/h = 0.5$ に対して反射率 K_R を種々の $\sigma^2 h/g$ について P の値を変えて計算した結果を示すと図-4, 図-5 のようである。これに

よると $\sigma^2 h/g$ に応じて明らかに最小反射率を与える P の値が存在することが分る。ここで堤体幅を B , 遊水部幅を D として $B = 2l$, $D = (P-1)l$ として、元等による K_R の分布を求めると図-6 のようである。波の条件 $\sigma^2 h/g$ が与えられると堤幅 B に対応する最適遊水部幅が唯一存在し、 $B/h = 0.25 \sim 1.5$ の範囲については B/D が 0 ～ 2 の間に有るとき最小反射率が得られることが分かる。他の $\sigma^2 h/g$ についても同様の結果を得られるが、このような最小反射率の存在は $\sigma^2 h/g < 1.5 \sim 2.0$ の場合に認められ、これよりも波長が短い波については遊水部は反射率低下に対する効果を持たないことも分かる。

尚、ここでは水面変動量の計算結果は示していないが、上記の最適遊水部幅に対して水面変動量は最小値を示すことが認められる。また護岸に対する水平圧力も揚圧力も計算の結果は遊水部の存在のため、それが無い場合に比べると著しく低下することが分った。

4. 実験及び結果

上記の計算結果を確かめるために、幅 80 cm 深さ 80 cm 長さ 22 m の造波水槽内に 図-7 図-8 に示すような形のアロックを積み上げて模型造波堤を作り、反射率及び水面上昇量の測定を行った。この模型は水平孔を有する堤体と考えられモデルでは 図-2, 3 の

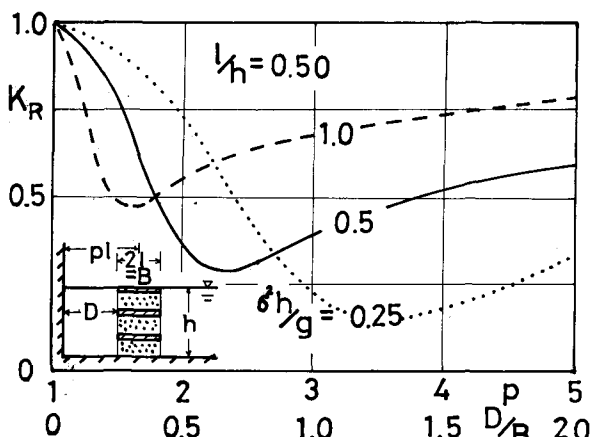


Fig. 5 Reflection Coefficient for Composite Type Wall(I)

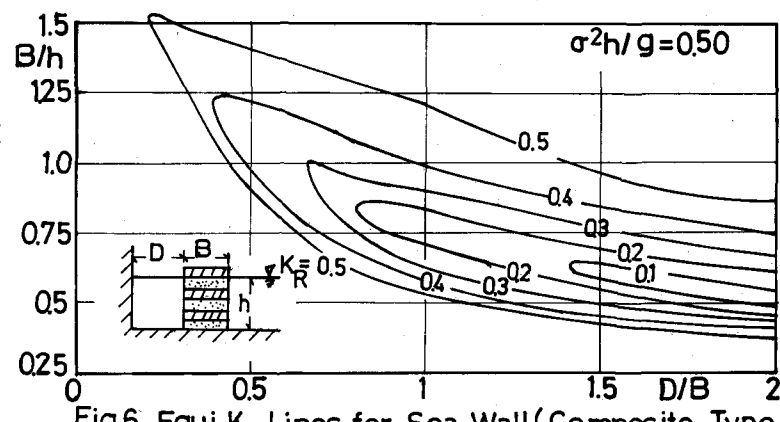


Fig. 6 Equi K_R Lines for Sea Wall (Composite Type Wall(I))

場合に近い。この幅 $2l = 25\text{ cm}$ であるから、 $h = 25\text{ cm} \Rightarrow l/h = 0.50$ とし、 $\sigma^2 h/g = 1.0$ について、反射率をビデオテープによる堤前面へ波形測定により Healy の方法で求めた。実験結果の一例を図-9に示し、図中に理論値を示していき。

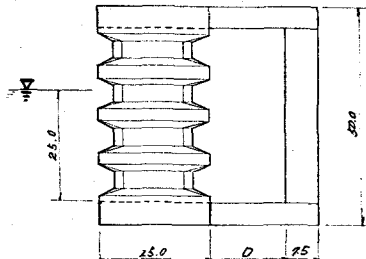


Fig.7 Side View (Model)

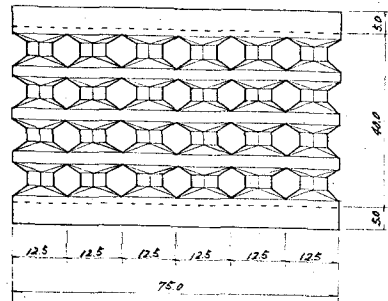


Fig.8 Front View (Models)

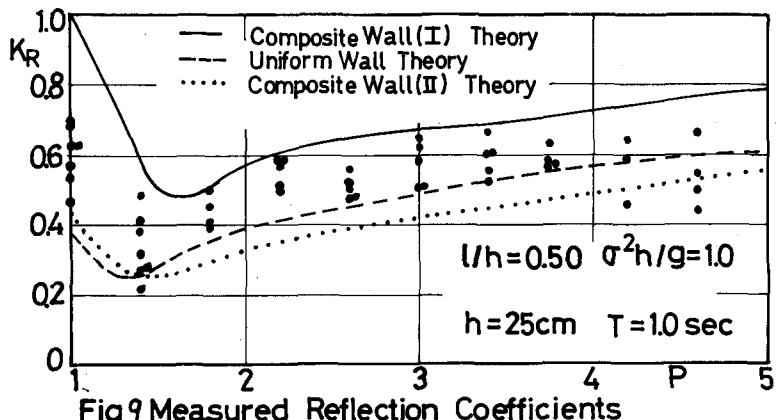


Fig.9 Measured Reflection Coefficients

5. 結論

上述の理論及び実験の結果、次の事項が明らかにされたと答えられる。

- (1) 避水部をもつ直立消波護岸は $\sigma^2 h/g < 1.5 \sim 2.0$ 程度の波長の波に対して反射率低下の効果をもつ
- (2) 波の特性値 ($\sigma^2 h/g$) と堤体幅 B と水深 h の比 B/h に対して、最小反射率を与える最適水深幅 B/h が存在し、堤前面の水面変動量も最小となる。これにより反射率は 0.2 ~ 0.3 まで低下することが出来る。
- (3) この特性は、透過堤体が堅積率約 50 % 程度の透過堤であるときは具体的構造の如何に拘らず成立する。(堤体がブロックであっても水平板のようなものであっても良い。)

参考文献

- (1) 長尾義三、加藤久徳：“直立消波岸壁に関する 2,3 の実験的研究” 第 17 回海岸工学講演会論文集、昭 45 年
- (2) 井島、尾崎他：“直立消波岸壁に関する研究(I)” 第 16 回海岸工学講演会論文集、昭 44 年
- (3) 井島、尾崎他：“水平板による防波堤と岸壁に関する研究” 第 17 回海岸工学講演会論文集、昭 45 年
- (4) 井島、江口他：“透過性防波堤と岸壁に関する研究” 第 18 回海岸工学講演会論文集、昭 46 年